

# CH<sub>4</sub>与N<sub>2</sub>流量比对Ti(C,N)涂层性能的影响<sup>①</sup>

马柳莺 刘华佾

(中南工业大学材料系,长沙410083)

卞正恒 刘国纯

(株洲硬质合金厂,株洲412000)

## 摘要

采用物理化学气相沉积(PCVD)技术,在硬质合金上涂复Ti(C<sub>x</sub>N<sub>1-x</sub>)膜( $0 < x < 1$ ),测定了涂层厚度、显微硬度、粘结强度与反应气体中CH<sub>4</sub>/N<sub>2</sub>比值的关系。在本实验条件下,当CH<sub>4</sub>/N<sub>2</sub>=1:1时,涂层具有最佳综合性能和最大沉积速率。采用X射线衍射(XRD)、扫描电子显微镜(SEM)及X射线光电子谱(XPS)技术,分析了涂层微观组织、表面形貌、化学成分及涂层/基体界面区微观形貌。在此基础上,就CH<sub>4</sub>/N<sub>2</sub>值、微观结构及性能间的关系进行了讨论。

**关键词:**物理化学气相沉积 气体流量比 硬度 粘结强度 沉积速率

目前,硬质合金涂层种类繁多,如TiC、TiN、Ti(C,N)、氧化物及硼化物等,但以TiC、TiN和Ti(C,N)居多。其中,Ti(C,N)涂层硬度高,与基体热膨胀匹配良好,晶格错配小,因此膜/基结合强度较高,已成为近年来开发和应用的硬质涂层体系之一。为了进一步提高Ti(C,N)涂层的使用性能,在工艺参数、微观结构和成分及宏观力学性能的关系方面有待进行系统研究。本文介绍了反应气体中,CH<sub>4</sub>与N<sub>2</sub>流量比(CH<sub>4</sub>/N<sub>2</sub>)对Ti(C,N)涂层性能的影响;根据XRD、SEM及XPS实验结果,就CH<sub>4</sub>/N<sub>2</sub>值、微观结构及性能间的关系进行了讨论;并对Ti(C,N)结构的X射线分析方法进行了阐述。

## 1 实验方法

### 1.1 试样制备

WC-Co-TiC系硬质合金刀片,经磨光清洗后置于沉积炉内作衬底;将N<sub>2</sub>、H<sub>2</sub>、TiCl<sub>4</sub>和CH<sub>4</sub>以一定比例通入沉积炉。采用PCVD技术,在560℃左右、40~60min时间内,分别以1:

3、1:2、1:1和2:1四种CH<sub>4</sub>/N<sub>2</sub>值,在衬底上沉积Ti(C<sub>x</sub>N<sub>1-x</sub>)膜( $0 < x < 1$ )。

### 1.2 涂层力学性能测定

采用轻负荷维氏硬度计,测定涂层显微硬度;采用划痕仪,根据涂层破裂的临界载荷大小,评价涂层粘结强度<sup>[1]</sup>。

### 1.3 微观结构分析

采用XRD技术确定Ti(C<sub>x</sub>N<sub>1-x</sub>)涂层物相组成、择优取向及晶格参数;采用SEM技术观察涂层表面形貌、涂层/基体界面区结构、断口特征及几个主要元素在界面区的互扩散;采用高灵敏度表面分析技术X射线光电子谱仪(XPS),分析表面化学成分及主体元素Ti的化学状态,并探讨涂层外表物相组成。

## 2 结果及讨论

### 2.1 力学性能

Ti(C<sub>x</sub>N<sub>1-x</sub>)涂层厚度及力学性能测量结果如图1所示。由图可见:硬度随CH<sub>4</sub>/N<sub>2</sub>比值的增加而单调上升;粘结强度则呈“S”形变化;涂层厚度,即沉积速率随CH<sub>4</sub>/N<sub>2</sub>的增加而增

① 收稿日期:1993年8月16日

大, 当  $\text{CH}_4/\text{N}_2 \approx 1:1$  时, 达最大值, 然后下降。所以, 在本研究条件下,  $\text{CH}_4/\text{N}_2$  接近 1:1 时, 可获最佳综合性能和最大沉积速率。实验证明: PCVD 涂层在一定厚度内, 显微硬度随厚度增加而增加<sup>[2]</sup>。当  $\text{CH}_4/\text{N}_2$  超过 1:1 后, 因沉积速率下降, 厚度减小, 但硬度仍然上升, 说明除厚度外, 还有更为复杂的因素影响其硬度值。

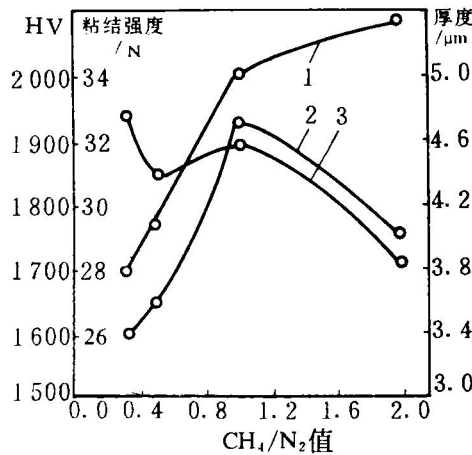


图 1  $\text{CH}_4$  与  $\text{N}_2$  流量比对涂层厚度及性能的影响

1—显微硬度; 2—厚度; 3—粘结强度

## 2.2 XRD 结果分析

XRD 图谱如图 2 所示。在利用 XRD 数据分析  $\text{Ti}(\text{C},\text{N}_{1-x})$  结构或择优取向时, 须扣除基体的贡献, 并克服  $\text{Ti}(\text{C},\text{N}_{1-x})$  无标准衍射数据供对比分析的困难。如果注意到  $\text{Ti}(\text{C},\text{N}_{1-x})$  与 TiC 及 TiN 两晶体的联系和相似性, 即可解决上述矛盾。

上述三晶体均属 NaCl 型面心立方结构, 它们的 XRD 花样具有相同的系统消光规律。TiC 及 TiN 有严格的化学配比, 因而具有确定的晶格参数。 $\text{Ti}(\text{C},\text{N}_{1-x})$  相当于 N 原子部分取代了 TiC 中的 C 原子; 晶格参数取决于  $x$  值, 并近似遵循 Vegard 定律。 $\text{Ti}(\text{C},\text{N}_{1-x})$  晶格参数始终处于 TiN 与 TiC 之间, 且同指数衍射峰出现次序是:  $\theta_{\text{TiC}} < \theta_{\text{Ti}(\text{C},\text{N}_{1-x})} < \theta_{\text{TiN}}$ , 三者紧密相连(图 3)。在元素周期表中, C 与 N 为近邻元素, 原子散射能力极相近, 所以, TiC 与 TiN 的

PDF 卡片上数据相似; 而且,  $\text{Ti}(\text{C},\text{N}_{1-x})$  的强度应处于二者之间(表 1)。

表 1 及图 2 表明, 在四种不同的  $\text{CH}_4/\text{N}_2$  流量比下,  $\text{Ti}(\text{C},\text{N}_{1-x})$  均具有 {220} 及 {311} 组织。随着  $\text{CH}_4/\text{N}_2$  的增加, 这类组织似呈减弱趋势。 $\{220\}$  与  $\{311\}$  均为非密排面, 这类组织越弱, 越有利于保持  $\text{Ti}(\text{C},\text{N}_{1-x})$  涂层的高硬度, 这可能是图 1 中硬度随  $\text{CH}_4/\text{N}_2$  值增加而上升的重要原因。

表 1 中  $\text{Ti}(\text{C},\text{N}_{1-x})$  点阵参数随  $\text{CH}_4/\text{N}_2$  的变化亦可表示成图 4(a), 它反映了  $\text{Ti}(\text{C},\text{N}_{1-x})$  中 C/N 的变化。 $\text{Ti}(\text{C},\text{N}_{1-x})$  是 C/N(即  $x$ ) 可变的 TiN-TiC 系单相固溶体。鉴于点阵参数  $a$  与  $x$  关系遵循 Vegard 定律, 可根据  $\text{Ti}(\text{C},\text{N}_{1-x})$  的  $a$

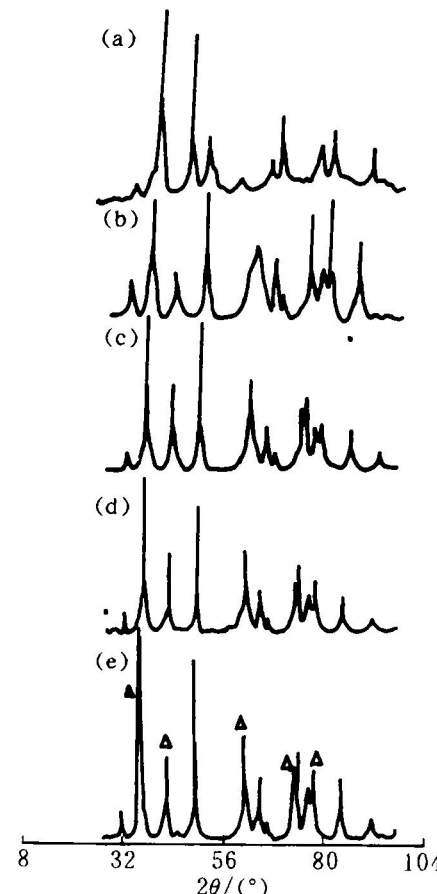


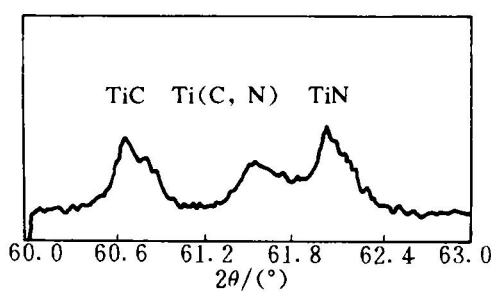
图 2 XRD 花样

△— $\text{Ti}(\text{C},\text{N}_{1-x})$  独立衍射峰或与其它相的重迭峰;  
(a)—基体; (b)— $\text{CH}_4/\text{N}_2 = 1:3$ ; (c)— $\text{CH}_4/\text{N}_2 = 1:2$ ;  
(d)— $\text{CH}_4/\text{N}_2 = 1:1$ ; (e)— $\text{CH}_4/\text{N}_2 = 2:1$

表1 TiN、TiC的PDF数据及Ti(C<sub>x</sub>N<sub>1-x</sub>)衍射数据\*

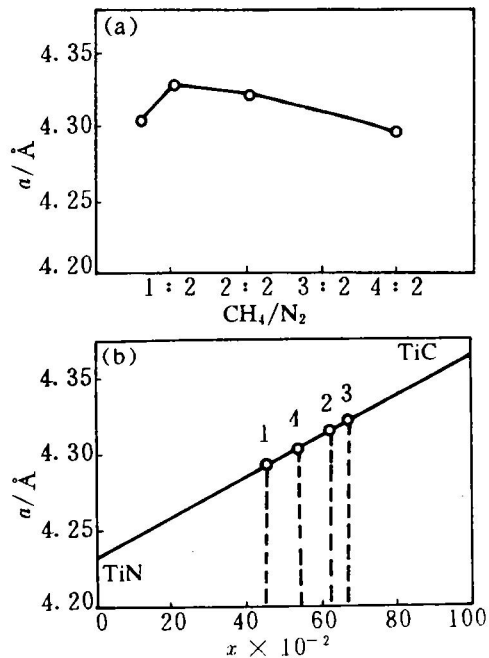
{HKL}	PDF卡: $d = I/I_1$			Ti(C <sub>x</sub> N <sub>1-x</sub> )衍射数据: $d = I/I_1$		
	TiN	TiC	1#	2#	3#	4#
111	2.44 <sub>75</sub>	2.51 <sub>80</sub>	/	2.5066 <sub>60</sub>	2.5091 <sub>10</sub>	2.5047 <sub>10</sub>
200	2.12 <sub>100</sub>	2.18 <sub>100</sub>	2.1513 <sub>10</sub>	2.1562 <sub>50</sub>	2.1583 <sub>65</sub>	2.1533 <sub>60</sub>
220	1.50 <sub>55</sub>	1.54 <sub>50</sub>	1.5191 <sub>100</sub>	1.5264 <sub>100</sub>	1.5268 <sub>100</sub>	1.5248 <sub>100</sub>
311	1.28 <sub>25</sub>	1.32 <sub>30</sub>	1.2909 <sub>100</sub>	1.3013 <sub>90</sub>	1.3021 <sub>60</sub>	1.3020 <sub>80</sub>
222	1.22 <sub>16</sub>	1.26 <sub>40</sub>	/	1.2417 <sub>40</sub>	1.2460 <sub>20</sub>	1.2339 <sub>6</sub>
点阵参数 /Å	4.2360	4.3660	4.2936	4.3177	4.3231	4.3047
择优取向	/	/	{220}较强 {311}强	{220}较强 {311}强	{220}较强 {311}较强	{220}较强 {311}较强

\* 表中1#、2#、3#、4#分别表示CH<sub>4</sub>/N<sub>2</sub>为1:3, 1:2, 1:1和2:1

图3 Ti<sub>22</sub>合金涂层{220}衍射峰

值确定x值,如图4(b)所示。

Ti(C<sub>x</sub>N<sub>1-x</sub>)中的C/N随CH<sub>4</sub>/N<sub>2</sub>增加而缓慢升高。当CH<sub>4</sub>/N<sub>2</sub>=1:1时,C/N达到2.13的最大值;继续增加CH<sub>4</sub>与N<sub>2</sub>的比值,C/N反而下降。因C原子直径较大,C/N越高,晶格畸变越大,将产生较大的微观应力。根据应力与应变关系 $\sigma=E\epsilon$ ,应力大小还与弹性模量有关。当晶体中存在择优取向时,弹性模量大小由组织特征决定<sup>[4]</sup>:当CH<sub>4</sub>/N<sub>2</sub>升高时,一方面,{220}与{311}组织减弱,意味着任意方向上的弹性模量将随CH<sub>4</sub>/N<sub>2</sub>值发生有规律的变化;另一方面,微应变却随CH<sub>4</sub>/N<sub>2</sub>而发生如图4中点阵参数的复杂变化,这两个因素的综合效果将形成微应力与CH<sub>4</sub>/N<sub>2</sub>间的复杂关系。而薄膜中的应力,将在基体中产生缺陷或间接地改变其它性质,引起晶须、空洞及堆积结构等,从而使薄膜粘结强度下降,应力越

图4 Ti(C<sub>x</sub>N<sub>1-x</sub>)点阵参数a与CH<sub>4</sub>/N<sub>2</sub>、x(即C/N)的关系

(a)—一点阵参数与CH<sub>4</sub>/N<sub>2</sub>关系

(b)— $a \sim x$ 的Vegard关系

1—CH<sub>4</sub>/N<sub>2</sub>=1:3; 2—CH<sub>4</sub>/N<sub>2</sub>=1:2;

3—CH<sub>4</sub>/N<sub>2</sub>=1:1; 4—CH<sub>4</sub>/N<sub>2</sub>=2:1

大,粘结强度下降的可能性越大<sup>[3, 1]</sup>。这是图1中粘结强度随CH<sub>4</sub>/N<sub>2</sub>呈“S”形变化的一个重要原因。

### 2.3 SEM结果分析

图 5(a)~(c)是涂层表面 SEM 像。(a)涂层均匀, 晶粒最小, 图 2(b)中 Ti(C<sub>x</sub>N<sub>1-x</sub>)的 XRD 峰明显加宽, 亦反映了(a)涂层晶粒细小的特点。 $\text{CH}_4/\text{N}_2$  为 1:2 时, 晶粒最大(图中未显示); 随着  $\text{CH}_4/\text{N}_2$  增加, 平均晶粒尺寸依次减小。所以, 图 1 中硬度曲线单调上升。(a)涂层太薄, 致密性较差; Ti(C<sub>x</sub>N<sub>1-x</sub>) 中 C 原子含量最低, 产生压应力较小, 加上较强烈的 {220}、{311} 织构等原因, 所以, 虽然(a)涂层晶粒最小, 但硬度却最低。

图 6(a)~(c)为断口的 SEM 像, 可见: 涂层厚度均匀; 柱晶特征明显; 涂层/基体界面清晰。这后一特点预示了涂层较低的粘结强度; 而柱晶特点则证实了 XRD 关于存在择向性的分析结果。

#### 2.4 XPS 结果分析

图 7(a)是  $\text{CH}_4/\text{N}_2=1:2$  试样表面的 XPS 谱, 表示了表面化学元素特征及其相对含量。

其中, “ $\times 100\text{k}$ ”和“ $\times 300\text{k}$ ”均表示对应谱区灵敏度; 元素符号旁“(A)”表示该元素的俄歇峰。由图可见, 试样表面含 Ti、C、N 和 O, 且 C/N  $\gg 1$ ; 但经 A<sup>+</sup> 清洗 5 min 后, C/N  $\rightarrow 1$ , 且 C 大大减少, 说明只是外表 C 含较高。采用高分辨 XPS 谱分析后发现: C<sub>1s</sub> 峰位在 283.5~283.6 eV 处, 有力地说明了表面绝大部分 C 原子是中性的<sup>[5]</sup>; 而表面 O<sub>1s</sub> 电子 XPS 峰在 529.9 eV 附近, 即相对于 O<sub>2s</sub> 电子标准谱峰产生了 1 eV 的负漂移, 这是存在氧化物的一个证据。

图 7(b)是涂层中 Ti<sub>2p</sub> 电子高分辨 XPS 峰。由图可见: Ti<sub>2p<sub>3/2</sub></sub> 峰发生了分裂; Ti<sub>2p<sub>1/2</sub></sub> 峰因本身强度较低而分裂不明显。根据文献[5], 低能方的 Ti<sub>2p<sub>3/2</sub></sub> 峰 (454.1~454.7 eV) 对应于 Ti(C<sub>x</sub>N<sub>1-x</sub>) 中的 Ti<sub>2p<sub>3/2</sub></sub> 电子; 高能方的 Ti<sub>2p<sub>3/2</sub></sub> 电子能量峰 (457.7 eV~458.1 eV) 对应于 TiO<sub>2</sub> 或 TiO<sub>x</sub> ( $1 < x < 2$ ) 中的 Ti<sub>2p<sub>3/2</sub></sub> 电子。所以, 涂层表面由 Ti(C<sub>x</sub>N<sub>1-x</sub>)、TiO<sub>2</sub> 及 TiO<sub>x</sub> 组成。根据图

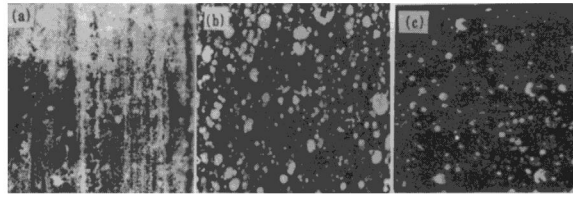


图 5 涂层表面 SEM 像( $\times 1000$ )

(a)— $\text{CH}_4/\text{N}_2=1:3$ ; (b)— $\text{CH}_4/\text{N}_2=1:1$ ; (c)— $\text{CH}_4/\text{N}_2=2:1$

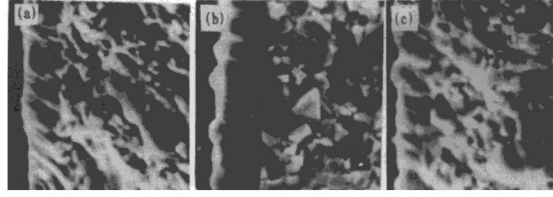


图 6 断口 SEM 像( $\times 3000$ )

(a)— $\text{CH}_4/\text{N}_2=1:3$ ; (b)— $\text{CH}_4/\text{N}_2=1:1$ ; (c)— $\text{CH}_4/\text{N}_2=2:1$

在空气中的吸附。其它原因有待进一步研究。

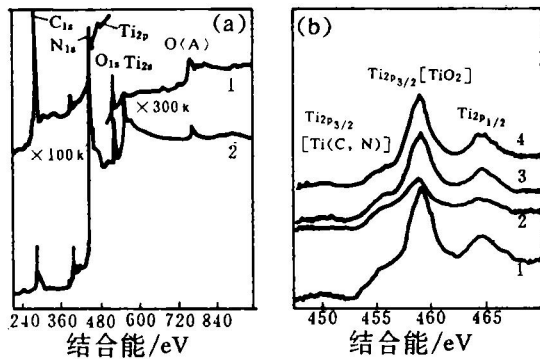


图7 涂层表面XPS分析

(a)—表面XPS全谱

1—Ar<sup>+</sup>清洗1 min; 2—Ar<sup>+</sup>清洗5 min;

(b) Ti<sub>2p</sub>电子XPS峰(Ar<sup>+</sup>清洗表面1 min)

1—CH<sub>4</sub>/N<sub>2</sub>=1:3; 2—CH<sub>4</sub>/N<sub>2</sub>=1:2;

3—CH<sub>4</sub>/N<sub>2</sub>=1:1; 4—CH<sub>4</sub>/N<sub>2</sub>=2:1

7(b)中两个Ti<sub>2p</sub><sub>3/2</sub>峰的强度(面积)关系, 可认为: TiO<sub>2</sub>及TiO<sub>x</sub>含量比Ti(C<sub>x</sub>N<sub>1-x</sub>)高得多。但鉴于XRD图谱中无TiO<sub>2</sub>和TiO<sub>x</sub>衍射峰, 证明它们的含量至多亦未达到XRD的灵敏度。氧及氧化物只是处于表面极薄层, 仅能为XPS这类高灵敏度的表面分析技术所测到; 涂层外表高O和高C含量, 主要应归结为涂层后, 试样

### 3 结论

(1) 涂层表面吸附大量的C和O。

(2) 涂层的主体是Ti(C<sub>x</sub>N<sub>1-x</sub>)相, 其次是少量的TiO<sub>2</sub>和TiO<sub>x</sub>局限在涂层的外表。

(3) CH<sub>4</sub>/N<sub>2</sub>=1:1时, 涂层具有最佳综合力学性能和最大的沉积速率。

(4) Ti(C<sub>x</sub>N<sub>1-x</sub>)涂层均具有{220}和{311}织构, 随着CH<sub>4</sub>/N<sub>2</sub>的升高, 这种织构有减弱的趋势。

### 参考文献

- 1 Arai T. Thin Solid Films, 1987, 154: 387—401.
- 2 马柳莺等. 中国有色金属学报, 1993, 4: 58—63.
- 3 Yoneyama T. Thin Solid Films, 1990, 193/194, 1056—1064.
- 4 d' Heurle F M. Thin Solid Films, 1989, 171: 81—89.
- 5 Anon. Handbook of X-ray Photoelectrons Spectroscopy. Perkin-Elmer Physical Electrons Division, 1978.